

九州大学工学部 正員 内田一郎  
九州大学大学院 学生員○平田登基男

1. はじめに 筆者等は砂質土(マサ土)を用いた盛土斜面に関する実験を、数年前から中型模型を作成して行なってきた。中型模型を採用したのは、土の相似律が不明確で、研究費にも制限される現状では、最も妥当な方法と考えられるからである。今までに浸透水による斜面崩壊、上部路面端部載荷による崩壊、繰返し荷重の作用による崩壊実験などを行なっており、すでに報告したものもある<sup>(1)</sup>。今回は、上部載荷による崩壊が予め一定の繰返し荷重を受けた場合とそうでない場合とでどのように異なるかを、荷重と沈下、破壊荷重と繰返し荷重などの関係を調べて明確にしようとしたものである。

2. 試料と実験装置 試料としては、福岡市近郊に多く産するマサ土を2種類用いた。その物理的性質と力学的性質を表-1に示す。それによれば試料の物理的、力学的性質はほとんど同一と見なせよう。実験には、4.76mmフルイ通過分のみを用いた。

実験装置は、内法で縦×横×高さが200×92×100cmと235×101×100cmの2種類で、いずれもセメントコンクリート槽で前面に強化ガラス10mm厚のものをはめこんで、すべり線の観察を可能にしたものである。

載荷装置は油圧シリンダーにて載荷板中央に力を伝えるものである。

載荷板は幅15cmのチャンネルを使用したが、これだけでは厳密な等沈下が生じているか不安であるため、厚さ×幅×長さが35×105×920mmの鋼材を凹部にとめて補強を行なった。

3. 実験方法 供試体は形状寸法と試料の差異、試験の種類により、4つのグループに分けた。 $SS-I$ (I=1,2,3,4)は供試体寸法が、のちに述べるLS, LDタイプに比較してわずかに小さく、予め繰返し荷重を受けてないもの、SD-I(I=1,2)は、SSタイプと同じ大きさの供試体で、予め繰返し荷重を受けたもの、そしてSS, SDタイプにはいずれもA試料を用いた。 $LS-I$ (I=1,2)は供試体寸法が前述のようにSS, SDタイプに比較してわずかに大きく予め繰返し荷重を受けていないもの、LD-I(I=1,2,3,4)はLSタイプと同じ大きさの供試体で、予め繰返し荷重を受けたものである。またLS, LDタイプに用いた試料は、いずれもB試料である。供試体の作成方法は前に詳しく述べたので、重複するので省略する。

載荷試験は荷重制御の方法で、平板載荷試験に準じた。測定項目は地表面変位、土圧、すべり面などであり、各実験終了ごとに含水比、単位体積重量を測定した。測定個所は前に述べたので省略する。

4. 実験結果および考察 表-2,a,bに破壊試験結果を示す。SS-1, SS-2は法肩から載荷板端までの距離が0, 10cmで他のものはすべて20cmである。

試料の含水比はSS, SDタイプで約10%, LSタイプで19%, LDタイプで16%であり、SS, SDのグループとLS, LDのグループに大別される。間隔比、乾燥密度に関してはさほどちがいはみられない。図-1では、繰返し荷重の大、小と破壊荷重に与える影響を調べた。横軸に繰返し荷重( $P_r$ )、

試料名	A	B
採取地	福岡市城山の原野	筑紫野市
土粒子の比重 $G_s$	2.64	2.69
粒度	レシタ分 13.5 12.2	
分析	砂分 55.0 61.4	
(%)	シルト分 21.5 20.4	
粘土分 10.0 6.0		
均等係数 $U_c$	54.6 100.0	
曲率係数 $U_e$	2.7 1.4	
液性限界 $w_{ll}(\%)$	39.1 38.5	
塑性指数 $I_p$	7.7 6.7	
最適含水比 $w_{opt}(\%)$	16.0 16.0	
最大乾燥密度 $\gamma_d(\text{kg}/\text{m}^3)$	1.73 1.74	
統一分類	SM SM	

表-1 試料土の物理及ぶ力学的性質

供試体番号	SS-1	SS-2	SS-3	SS-4	SS平均	LS-1	LS-2	LS平均
乾燥密度 $\gamma_d(\text{kg}/\text{m}^3)$	1.45	1.46	1.48	1.47	1.47	1.48	1.38	1.43
含水比 $w$	10.4	9.7	9.0	9.8	9.7	9.6	18.1	18.8
間隔比 $e$	0.82	0.81	0.77	0.80	0.80	0.82	0.95	0.89
繰返し荷重 $P_r(\text{kg})$	2.80	3.51	4.25	4.50	—	4.52	4.02	4.27
破壊荷重 $P_b(\text{kg})$	2.07	2.60	3.15	3.33	—	3.04	2.71	2.88

破壊荷重( $P_b$ )比をとり、絶対に繰返し荷重載荷後

表-2, a, 繰返し荷重を受けてない(SS, LS)載荷試験結果

の破壊荷重( $P_{ue}$ )、破壊荷重( $P_{us}$ )比をとってプロットした。SD, LDいずれも( $P_{ue}/P_{us}$ )が右上がりでしかも1.0以上である。これは繰返し荷重が載荷板下の土を締固めるため、破壊荷重が増したのであり、( $P_{ue}/P_{us}$ ) $\geq 1$ でも( $P_{ue}/P_{us}$ ) $=1.15\sim 1.40$ ほど値を示した。このことは荷重制御試験で求められた破壊荷重でも、て繰返し荷重を作用してもかなりの強度の増加が見られることがある。基準とした破壊荷重( $P_{us}$ )を荷重制御試験によって求めたために、このような値を示したものと思われる。載荷周期、載荷回数の影響もあり、供試体が緩詰めか密詰めかによっても異なる、くるのでさうにどのような検討が必要である。

供試体番号	SD-1	SD-2	SD平均	LD-1	LD-2	LD-3	LD-4	LD-5	LD平均
乾燥密度 kg/cm <sup>3</sup>	1.53	1.56	1.55	1.40	1.45	1.43	1.41	1.42	1.42
含水比 w(%)	8.9	9.4	9.2	17.0	15.8	16.2	15.7	15.4	16.0
間隔比 $e$	0.73	0.70	0.72	0.92	0.86	0.88	0.91	0.90	0.90
破壊荷重 $P_u$ (ton)	5.00 <sup>上</sup>	4.90	—	4.52	5.52	6.06	5.06	6.06	—
破壊強度 $P_u$ (kg/cm <sup>2</sup> )	3.70 <sup>上</sup>	3.63	—	3.05	3.72	4.08	3.41	4.08	—
繰返し荷重 $P_e$ (kg/cm <sup>2</sup> )	3.52	1.52	—	0.82	3.42	3.56	4.26	4.56	—
周期(秒) 載荷-除荷	3-1	3-1	—	2-1	5-2	5-2	5-2	5-2	—
繰返し回数 $N$ (回)	27.5	10.0	—	62.3	10.0	20.0	1.0	7.58	—

合いを調べた。SSタイプでは約50%, LS 表-2b 繰返し荷重を受けた(SD, LD)の破壊試験結果

タイプでは約70%を示した。いかえれば、降伏荷重の1.5~2.0倍が、破壊荷重となりそろである。繰返し荷重を受けたものは、その荷重の大きさによって曲線の形が下に凸か、上に凸な曲線となる。これを( $P_{ue}/P_{us}$ )の値でみると、これが0.40より少さいSD-1, LD-1では上に凸な形を示し、SS, LSタイプと同じ特徴を示すが、( $P_{ue}/P_{us}$ )の値が0.75以上のものは下に凸な曲線を示している。SS, LSタイプと同様な方法でも、て破壊荷重に対する降伏荷重の割合を求めた。それによると、SDタイプで約50%, LDタイプで約40%を示している。SS, SDタイプではどちらも約50%を示した。LD, LSはその値がそれぞれ40%, 70%を示した。繰返し荷重を受けたものは( $P_{ue}/P_{us}$ )の値により、て破壊が局部セン断破壊から全般セン断破壊の形式<sup>(4)</sup>をとり、その境界値は( $P_{ue}/P_{us}$ )=0.40~0.75の間に存在しそうである。また繰返し荷重を受けないものは全て局部セン断破壊でこわれた。

破壊時のすべり面が法肩に近い方より発生し、その原因が載荷板直下の密度増加、すなはちセン断強度の増加にあることを述べた。それで発生したすべり線を実測して、円弧として近似し自重のみを考慮した円弧すべりの分割法による安全率( $F_s$ )と、載荷板直下に生じる楔域(主動域)の境界面の応力の水平方向分力を円弧すべり計算で外力として考慮して求めた安全率( $F'_s$ )とを表-3に示す。

#### 4. むすび さらに実験を重ねて斜面崩壊に関する問題を明確にしていきたい。

(参考文献)

(1) 田中、他、砂質底土の强度と崩壊に関する実験的研究  
土木学会 第2回年次講演会第3回地盤工学セミナー  
(2) 内田、底土強度の上部載荷による崩壊について  
九大工学雑誌 5486

(3) 赤井、支持力と地下 山海堂、P4

表-3  $F_s$ ,  $F'_s$ の計算値

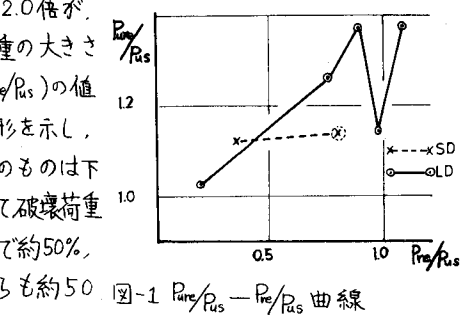


図-1  $P_{ue}/P_{us}$ — $P_{ue}/P_{us}$ 曲線

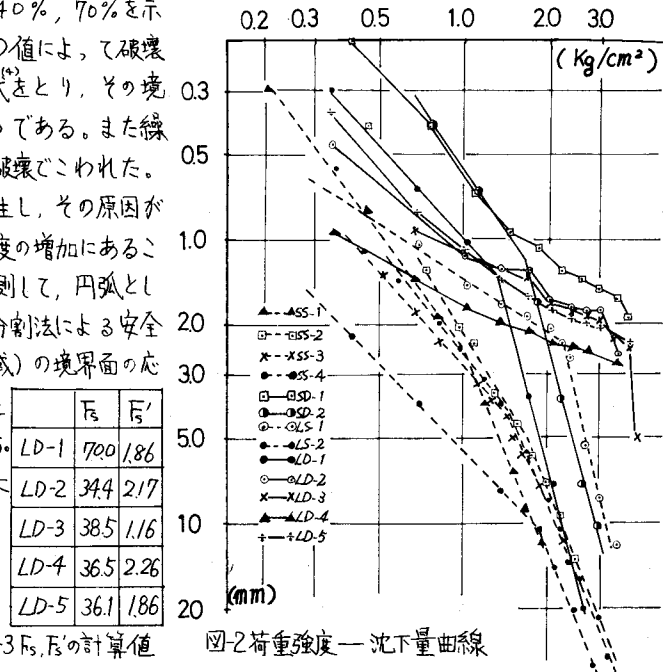


図-2 荷重強度—沈下量曲線